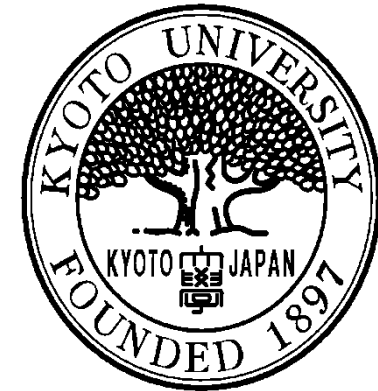


電磁鋼板の磁気ヒステリシス 特性のモデル化手法

松尾 哲司 (京都大学)



鉄心の磁気特性

- ◆ 現代社会の電力消費の半分以上がモータによる
- ◆ モータ損失 ⇒ 鉄損と銅損
 - 鉄損
 - ヒステリシス損
 - 渦電流損

モータ鉄心の磁気特性の正確な表現は容易でない

- ヒステリシス特性
 - ベクトル特性
 - 異常渦電流損
- ⇐ 回転磁界

ヒステリシス特性

電磁界解析の際、無視されることが多い

- 複雑な特性表現 ⇒ 解析上の困難, 計算コストの増大
- ヒステリシス特性の評価の必要性
 - ヒステリシス損
 - 残留磁気、偏磁
- 簡単で正確なヒステリシス特性の表現手法
 - ⇒ 過去の状態遷移(履歴)が現在の状態に及ぼす影響を表現
 - 高調波の重畳によって生じるマイナーループ
 - 偏磁条件下における非対称マイナーループ

ヒステリシスモデル

◎ プライザツハ(Preisach)モデル

⇒ 高い記述能力(マイナーループなど)

○ Jiles-Athertonモデル

○ Stoner-Wohlfarth モデル

プライザツハモデルの有限要素解析への応用

- 記憶容量大(2次元の積分領域)
- 計算量大(2次元積分, 逆関数)

プレイモデル&ストップモデル

- 簡潔な表現
- プライザツハモデルと同等の記述能力

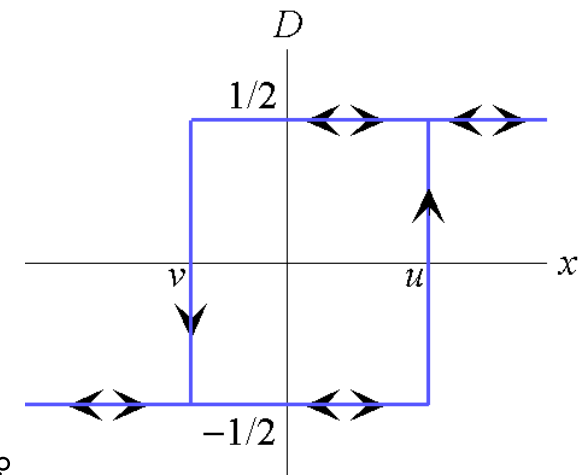
⇒ プレイモデルはプライザツハモデルと等価

プライザツハモデル

$$y = h(x) = \int_{-x_S}^{x_S} \int_v^{x_S} K(u, v) D_{uv}(x) du dv$$

$K(u, v)$: 分布関数, x_S : 飽和点を与えるパラメータ

$$D_{uv}(x) = \begin{cases} +1/2 & (u \leq x) \\ -1/2 & (x \leq v) \\ \text{不変} & (\text{それ以外}) \end{cases}$$

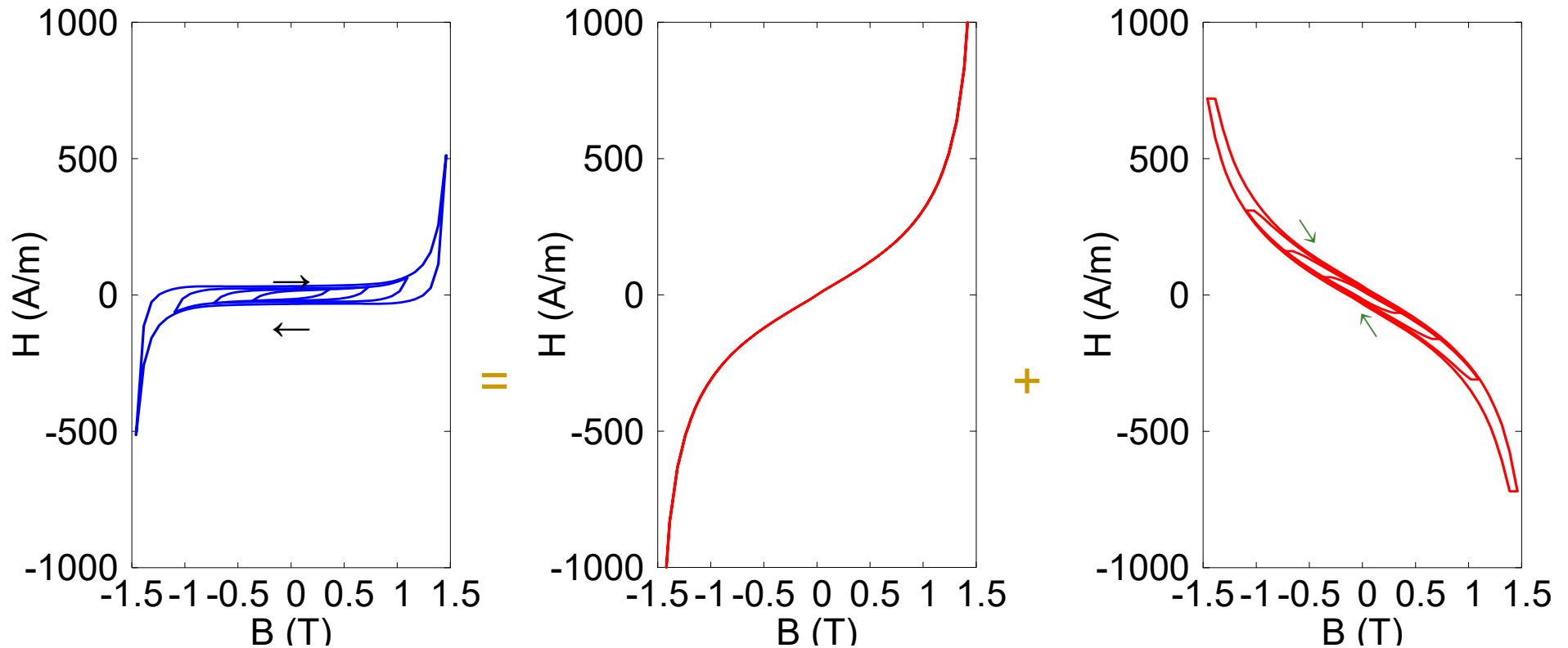


反時計回りのループ

磁界Hを入力、磁束密度Bを出力とするのが自然

逆分布関数法

入力をB, 出力をHとする ⇐ 磁気ベクトルポテンシャルの使用



元のヒステリシス特性 = 可逆部 + 不可逆部
⇒ 負の分布関数

プレイモデル

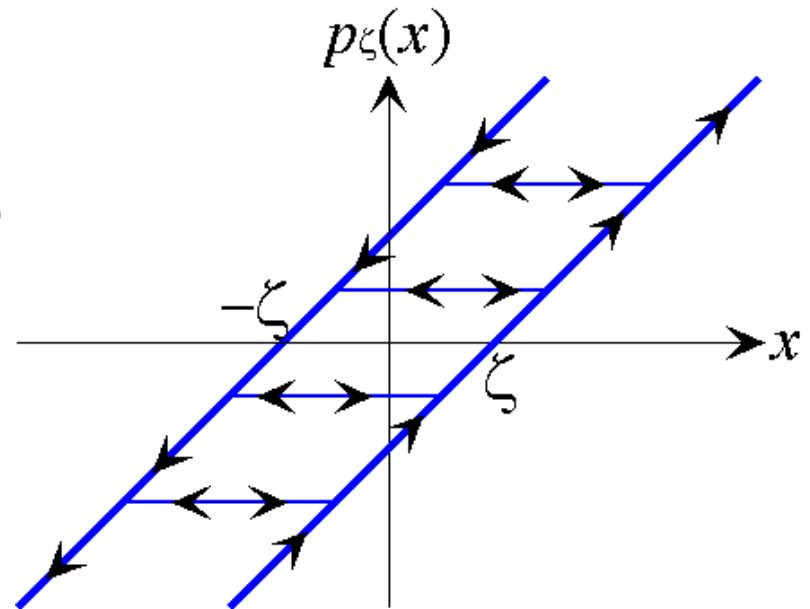
$$P(x) = \int_0^{xs} f(\zeta, p_\zeta(x)) d\zeta$$

$$p_\zeta(x) = \max(\min(p_\zeta^0, x+\zeta), x-\zeta)$$

⇒ プレイヒステロン

p_ζ^0 : 前時点での p_ζ

$f(\zeta, p)$: 形状関数 (一価関数)



変数変換 $(u, v) = (p + \zeta, p - \zeta)$ により

プライザツハモデル ($2K(u, v) = \partial f(\zeta, p) / \partial p$) に変換される

⇒ 等価性

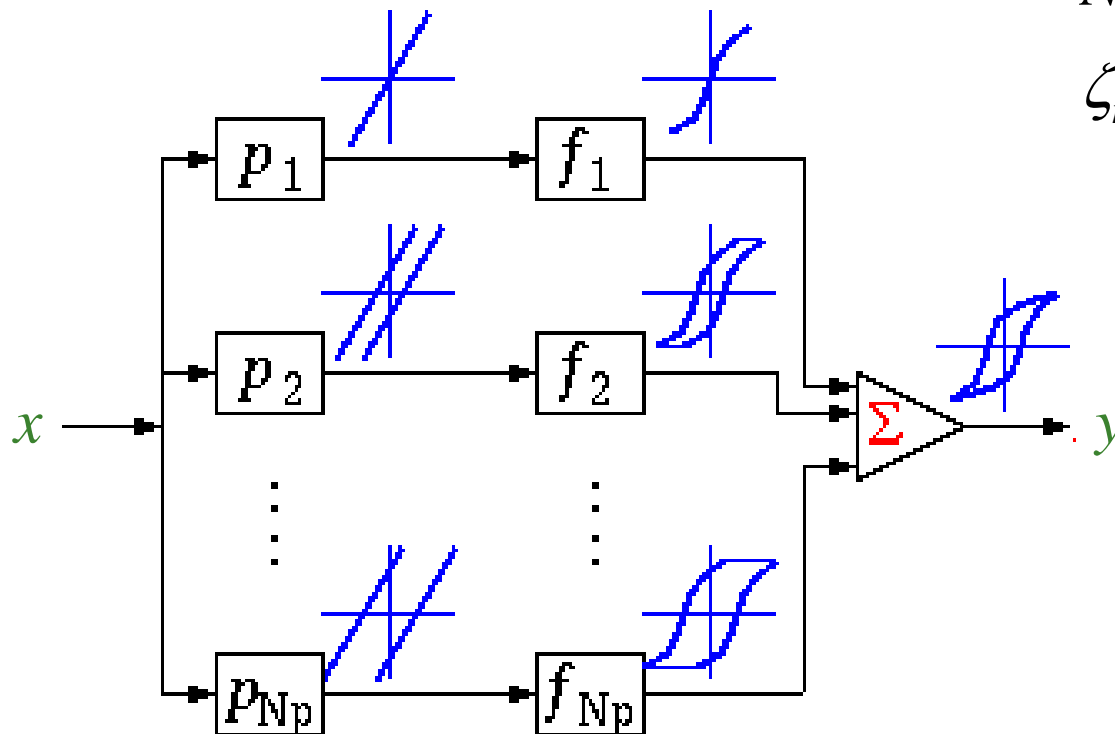
プレイモデルの離散化

$$P(x) = \sum_{n=1}^{N_p} f(\zeta_n, p_{\zeta_n}(x))$$

$$p_{\zeta}(x) = \max(\min(p_{\zeta}^0, x+\zeta), x-\zeta)$$

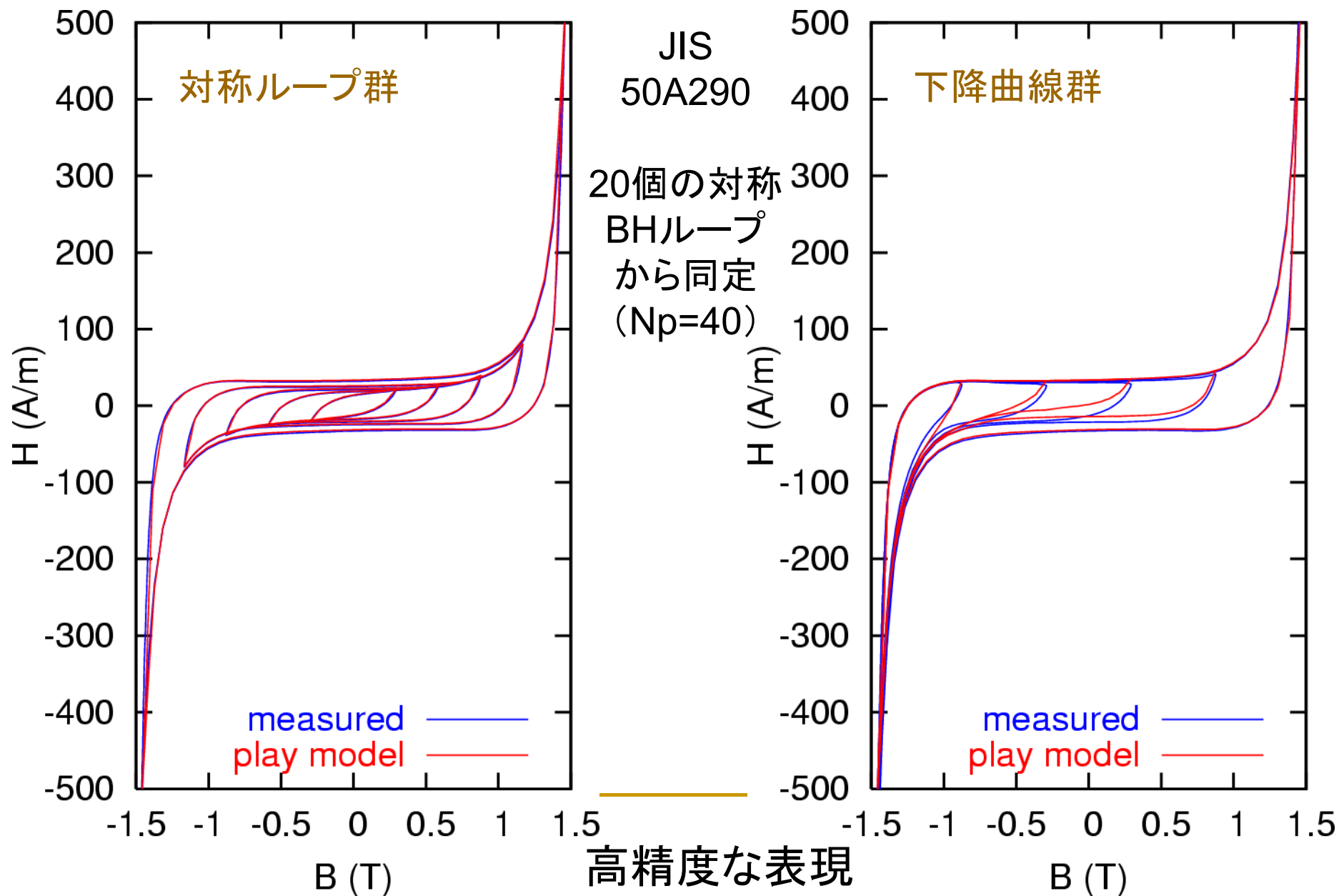
N_p : プレイヒステロンの数

$$\zeta_n = nx_S/N_p$$



- 前時点での p_{ζ_n} を記憶しておけばよい
⇒ 履歴の記憶は一次元配列
- 簡潔な表現

プレイモデルによるBHループの表現 (B→H)



ストップモデル

$$S(x) = \sum_{n=1}^{N_s} g(\eta_n, s_{\eta_n}(x))$$

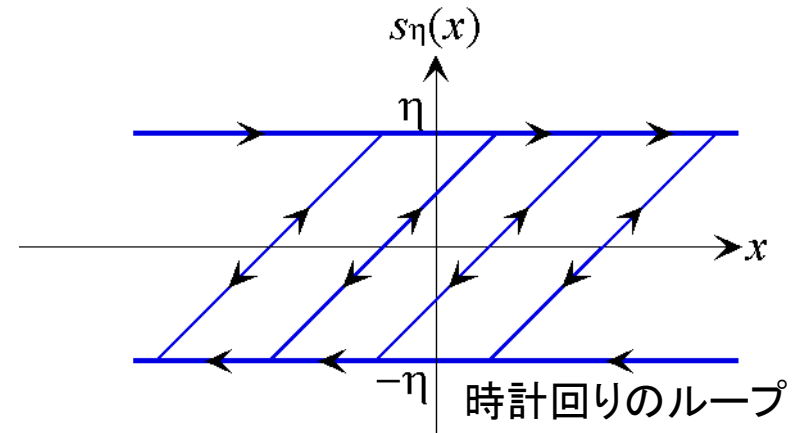
g_n : 形状関数 (一価関数)

s_{η} : ストップヒステロン

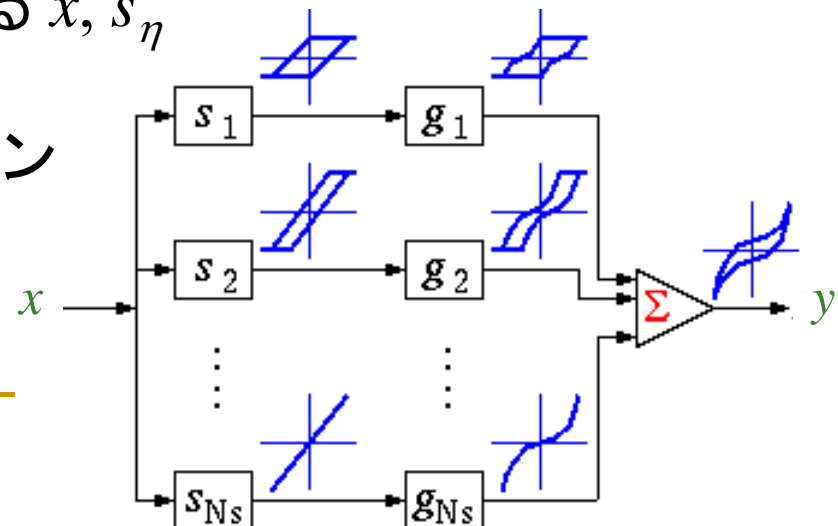
$$s_{\eta}(x) = \max(\min(x - x^0 + s_{\eta}^0, \eta), -\eta_n)$$

x^0, s_{η}^0 : 前時点における x, s_{η}

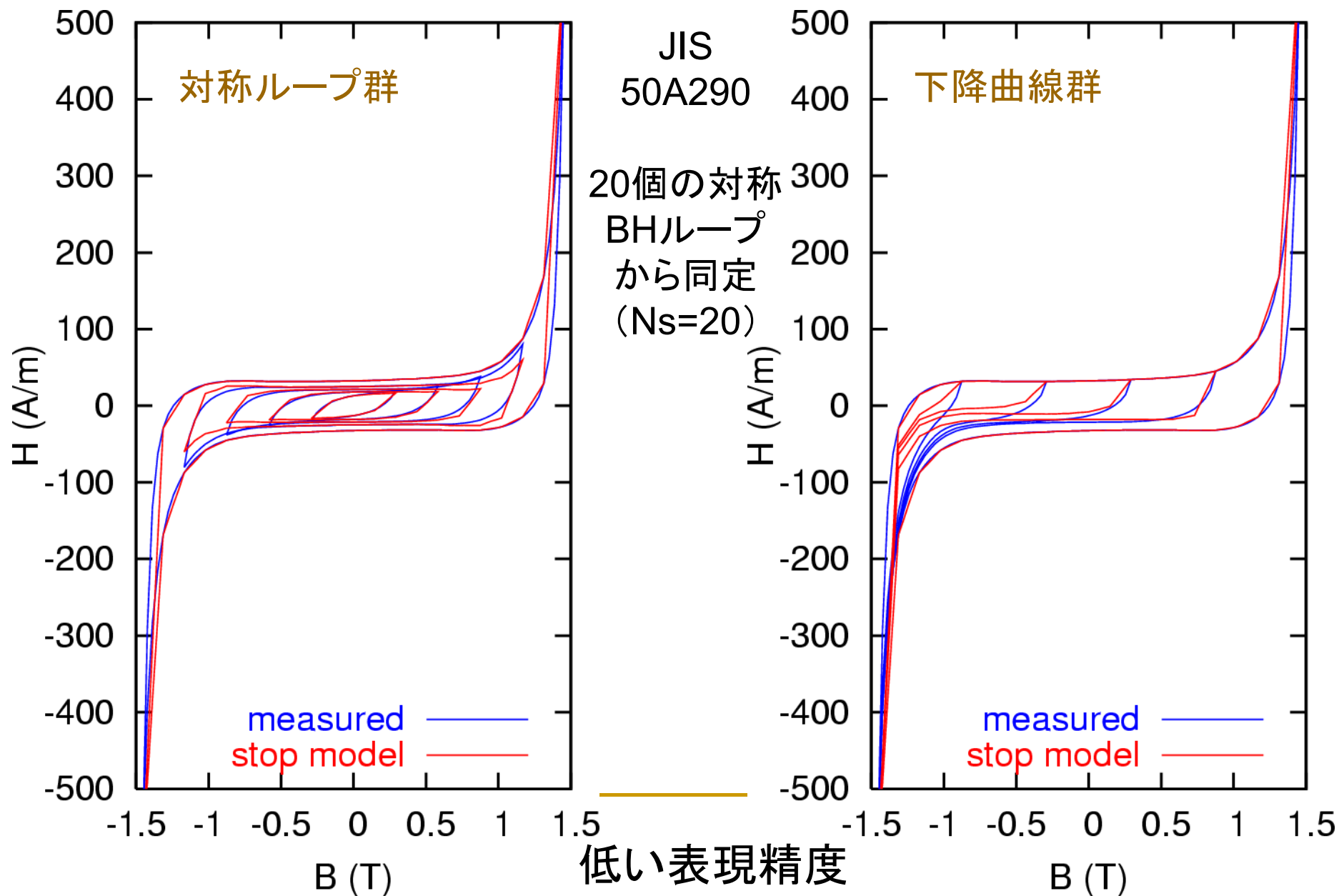
- 様々な高さ η_n のストップヒステロンの重ね合わせ
- 簡潔な表現



η : ストップヒステロンの高さ



ストップモデルによるBHループの表現



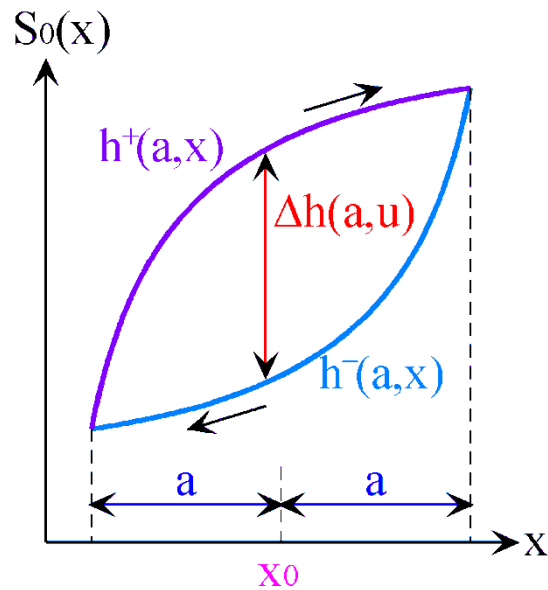
マイナーループの性質

周期入力 : $x = u + x_0$ ($-a \leq u \leq a$)

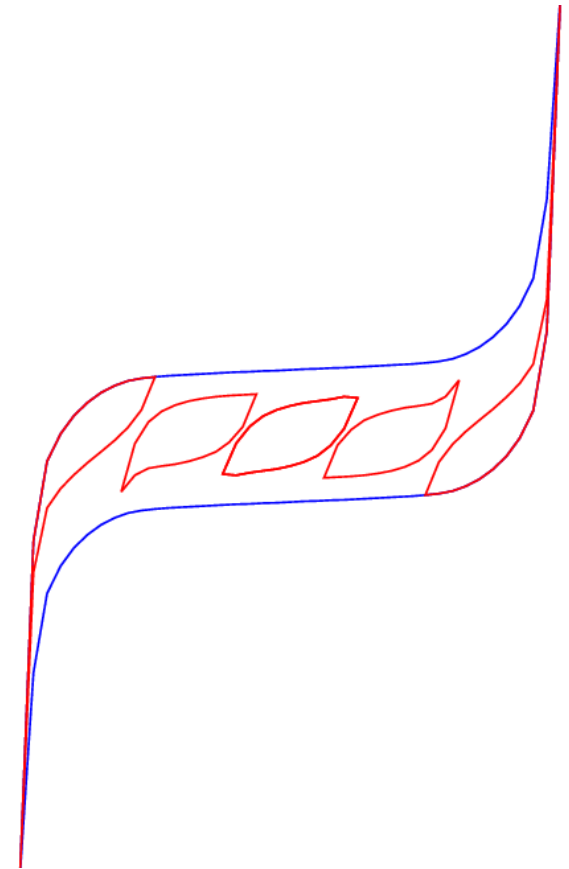
⇒ 上昇曲線 : $h^+(a, x)$

下降曲線 : $h^-(a, x)$

$$h^+(a, u + x_0) - h^-(a, u + x_0) = \Delta h(a, u)$$



等振幅の周期入力に対する
マイナーループの縦方向幅は
直流バイアス x_0 や履歴に
依らず等しい



入力依存形状関数を持つストップモデル

$$S(x) = \sum_{n=1}^{N_s} g(\eta_n, s_{\eta_n}(x), x)$$

$g(\eta, s, x)$: 入力依存形状関数

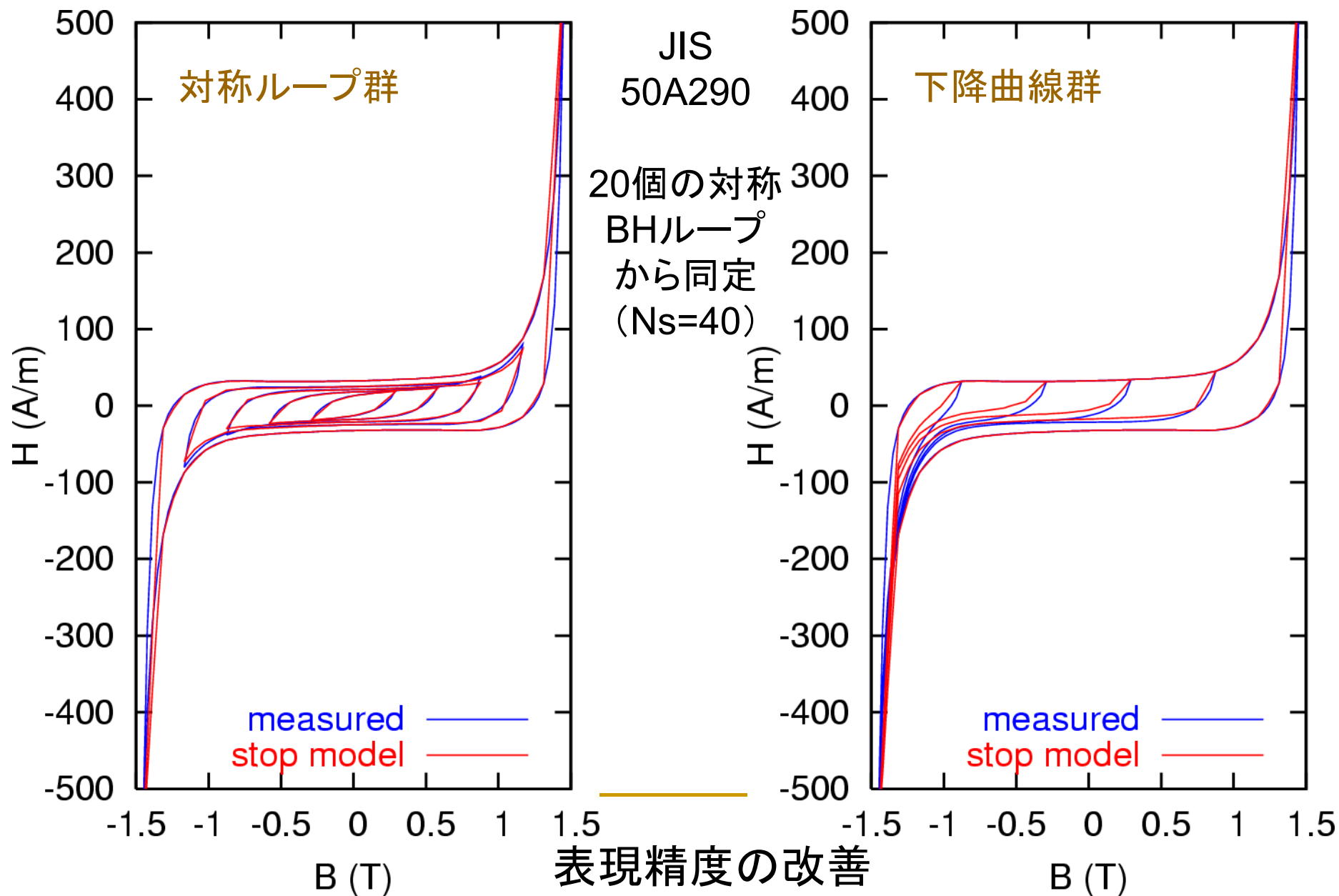
$g(\eta, s, x) = w(x) g_0(\eta, s)$ ($w(x)$: 重み関数) とおくと

$$\frac{S(x)}{w(x)} = \sum_{n=1}^{N_s} g_0(\eta_n, s_{\eta_n}(x)) \Rightarrow \text{従来のストップモデル}$$

$\Rightarrow S(x)/w(x)$ がマイナーループの等幅性を持つようにする

$w(x)$: メジャーヒステリシスループの幅

改良ストップモデルによるBHループの表現



入力依存形状関数を持つプレイモデル

$$P(x) = \sum_{n=1}^{Np} f(\zeta_n, p_{\zeta_n}(x), x)$$

← 入力依存形状関数を持つ
ストップモデルと等価

$f(\zeta, p, x)$: 入力依存形状関数

$f(\zeta, p, x) = w(x) f_0(\zeta, p)$ ($w(x)$: 重み関数) とおくと

$$\frac{P(x)}{w(x)} = \sum_{n=1}^{Np} f_0(\zeta_n, p_{\zeta_n}(x))$$

⇒ 従来のプレイモデル

⇒ $P(x)/w(x)$ がマイナーループの合同性を持つようにする

$w(x)$: メジャーヒステリシスループの幅

プレイモデルとストップモデルのまとめ

◆ プレイモデル

- プライザツハモデルと等価
⇒ マイナーループの合同特性

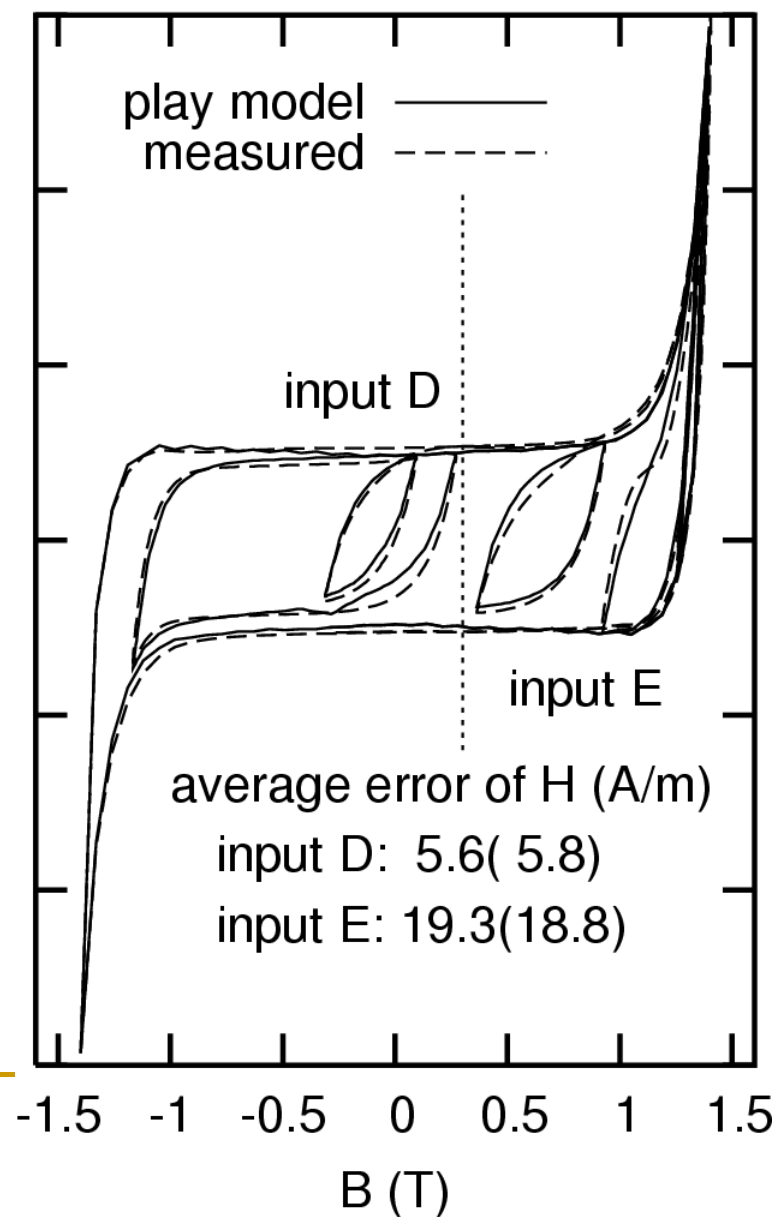
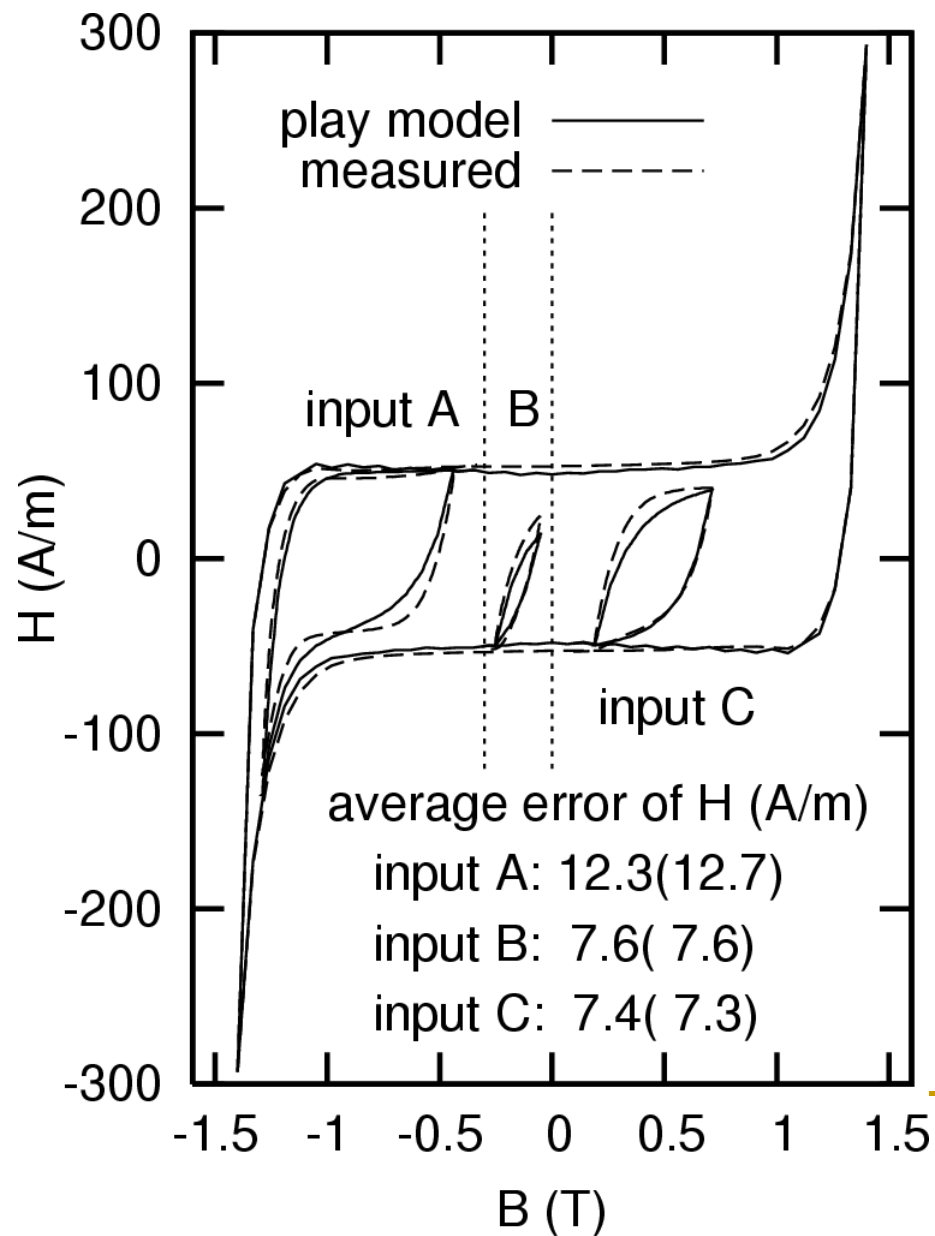
◆ ストップモデル

- マイナーループの直流バイアスによらない等幅特性
⇒ 電磁鋼板の磁気特性と合致しない

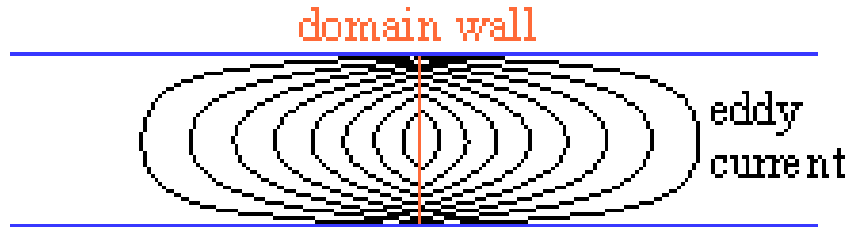
◆ 入力依存形状関数を持つプレイモデル・ストップモデル

- 非線形(入力依存)プライザツハモデルと等価
⇒ マイナーループの等幅特性
- 高い表現能力
- 積形式の形状関数を用いた同定

マイナーループを含む直流BHループ



交流特性と異常渦電流損



磁壁付近への渦電流の集中

プライ&ビーンモデル

← 1D周期的磁区構造

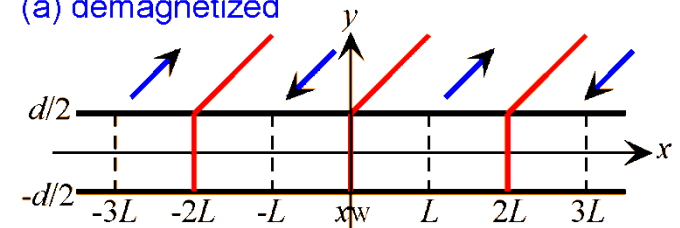
B 小 ($x_w \ll L$) のときの電力損失

$$P = \frac{8\sigma L d}{\pi^3} \left(\frac{dB}{dt} \right)^2 \sum_{n \text{ odd}} \frac{1}{n^3} \coth \frac{n\pi L}{d} = \sigma \frac{k_E d^2}{12} \left(\frac{dB}{dt} \right)^2$$

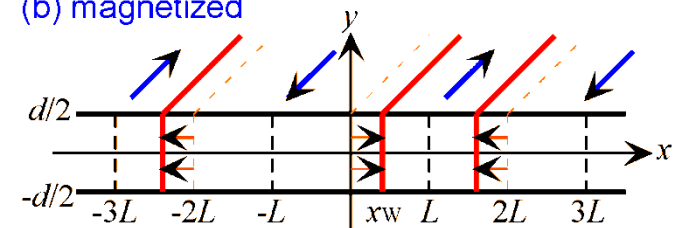
$$k_E = \frac{P}{P_C} = \frac{96L}{\pi^3 d} \sum_{n \text{ odd}} \frac{1}{n^3} \coth \frac{n\pi L}{d} \quad : \text{異常渦電流損係数}$$

$$P_C = \frac{\sigma d^2}{12} \left(\frac{dB}{dt} \right)^2 \quad : \text{古典渦電流損}$$

(a) demagnetized



(b) magnetized



$2L$: 平均磁区幅

x_w : 磁区的位置

交流モデル

$$H_{AC}(B) = H_{DC}(B) + k_E \frac{\sigma d^2}{12} \frac{dB}{dt} \quad : \text{均質化モデル}$$

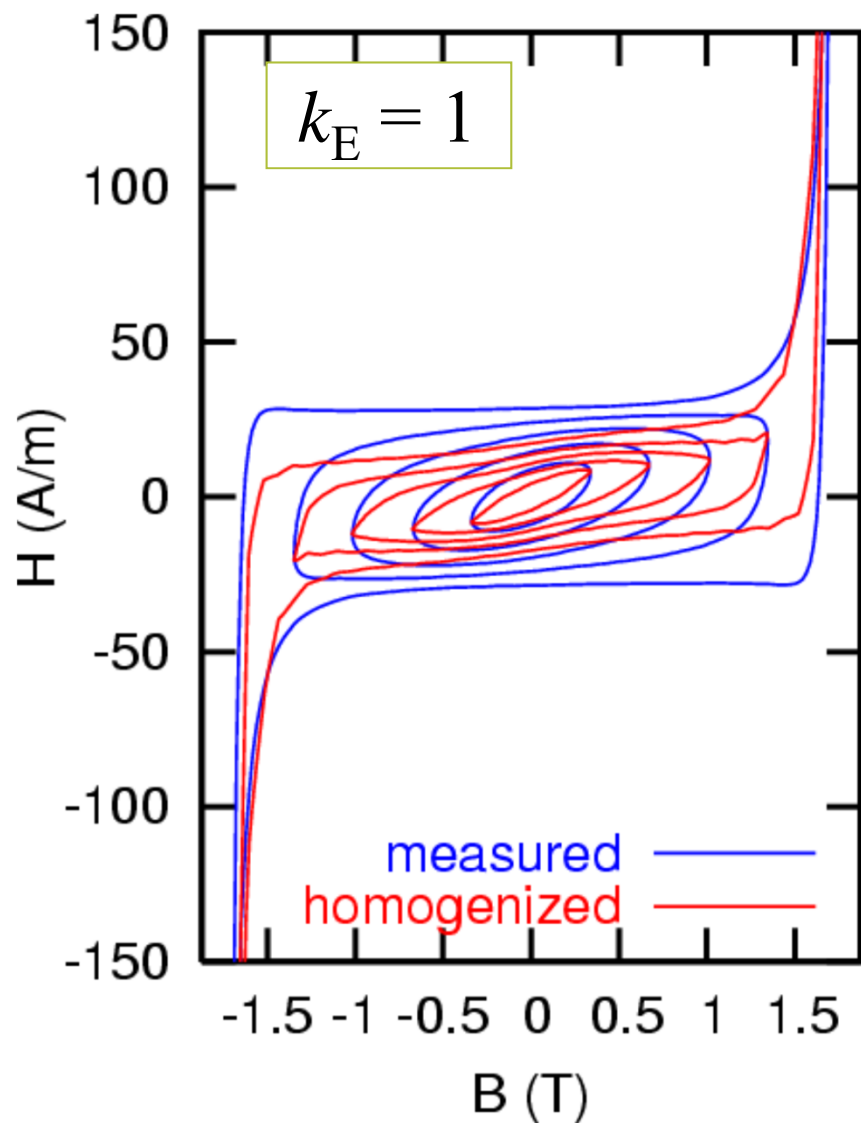
H_{DC} : 直流特性

$$k_E = \frac{96L}{\pi^3 d} \sum_{n \text{ odd}} \frac{1}{n^3} \coth \frac{n\pi L}{d} \quad : \text{アノマリーファクター}$$

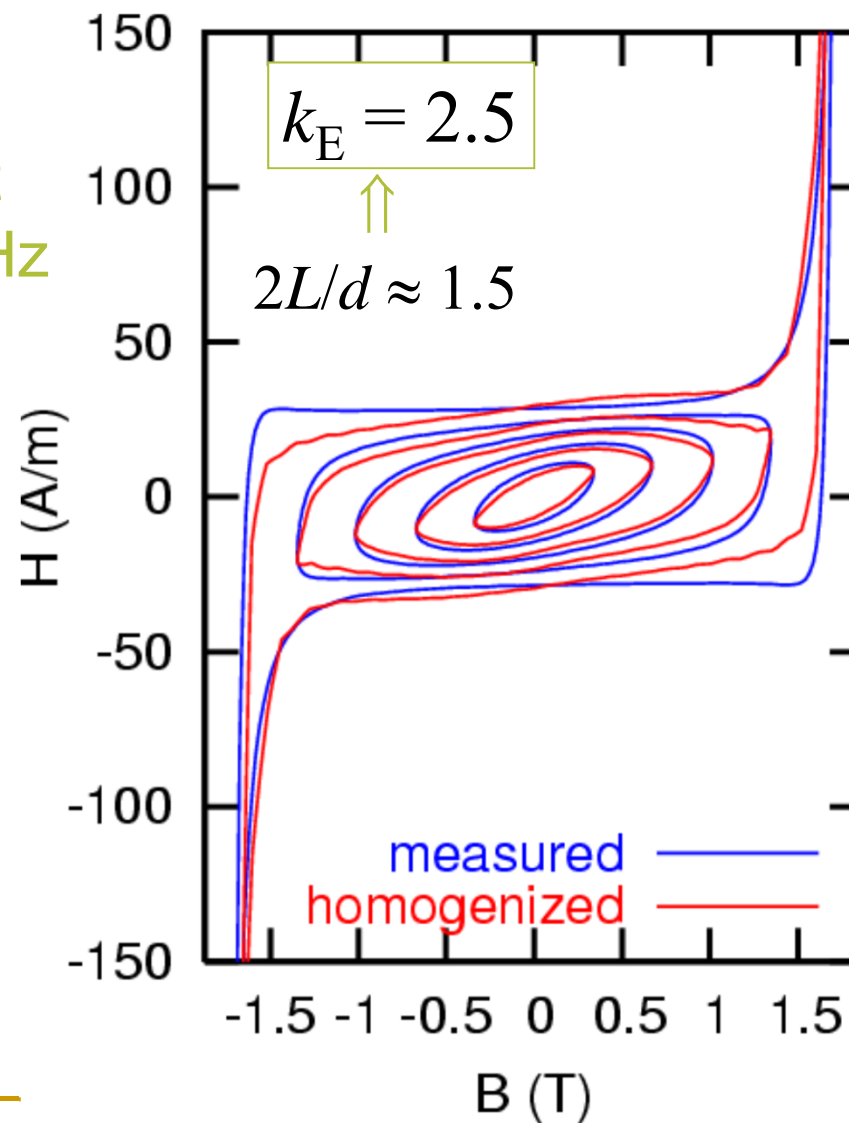
↑ Pry & Bean モデル

d : 厚み, $2L$: 平均磁壁間隔

交流BHループの表現



at
50Hz



表現精度の改善

表皮効果の考慮

線形解析による
渦電流損
(1周期あたり)

$$W_E = \begin{cases} \frac{\pi^2}{6} \sigma d^2 B_{\max}^2 f & (\text{for small } f) \\ \frac{\pi^{3/2}}{2} \sqrt{\frac{\sigma d^2}{\mu}} B_{\max}^2 f^{1/2} & (\text{for large } f) \end{cases}$$

渦電流による磁界 $\Rightarrow H_E \propto f^{1/2}$

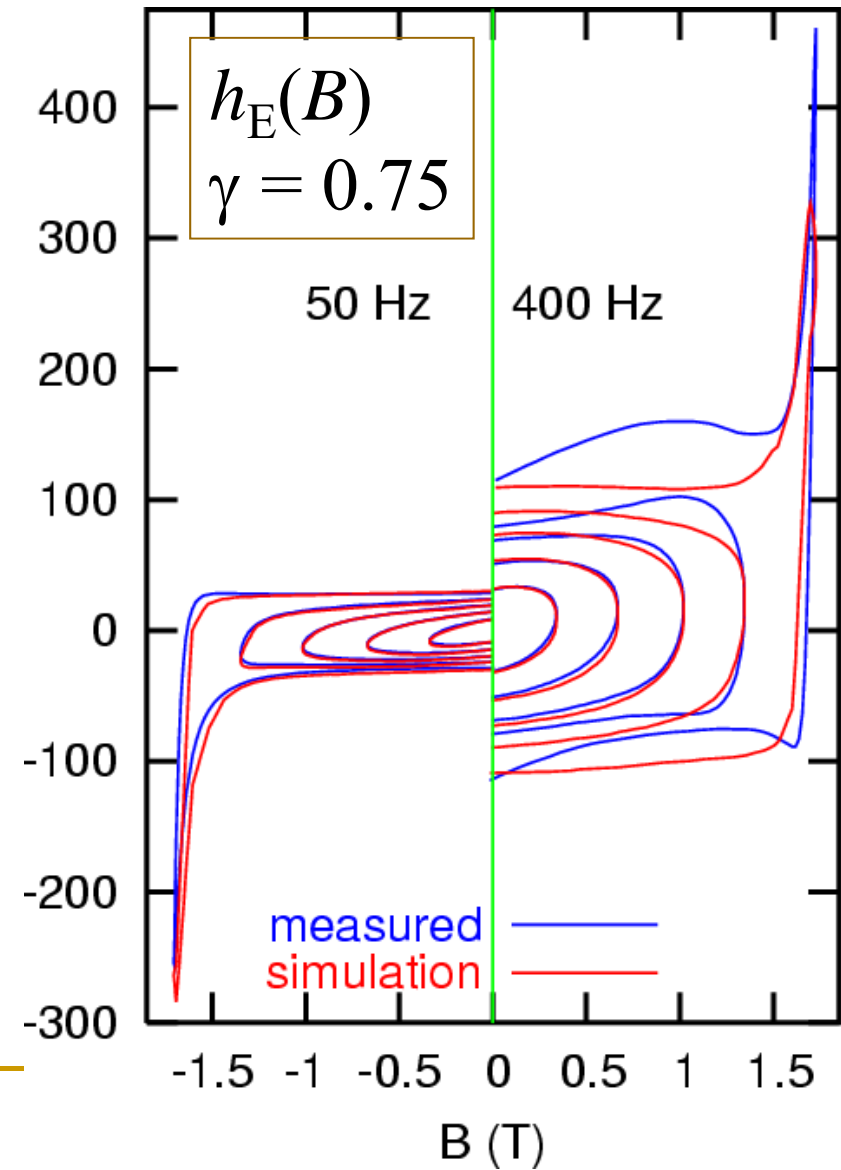
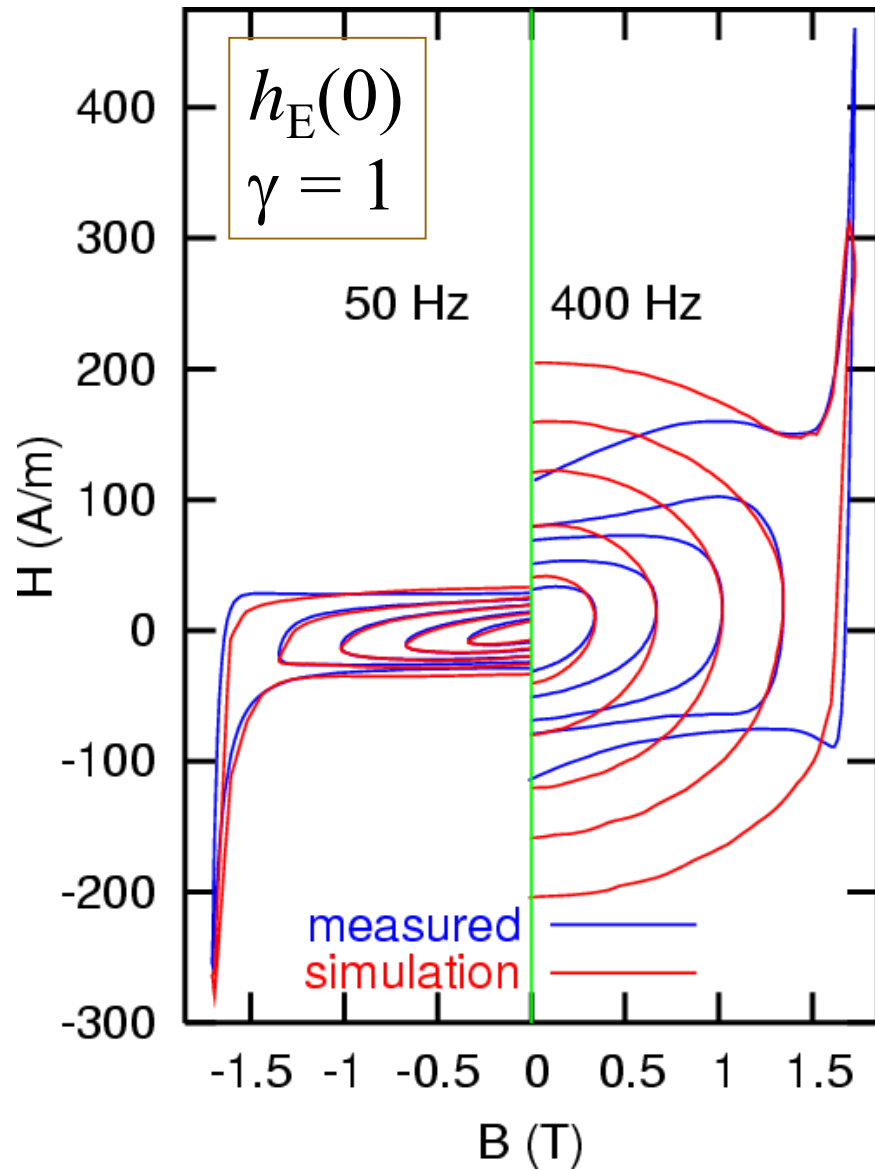
実際の電磁鋼板 $\Rightarrow W_E \propto f^\gamma, H_E \propto f^\gamma \quad (0.5 \leq \gamma \leq 1)$

拡張モデル

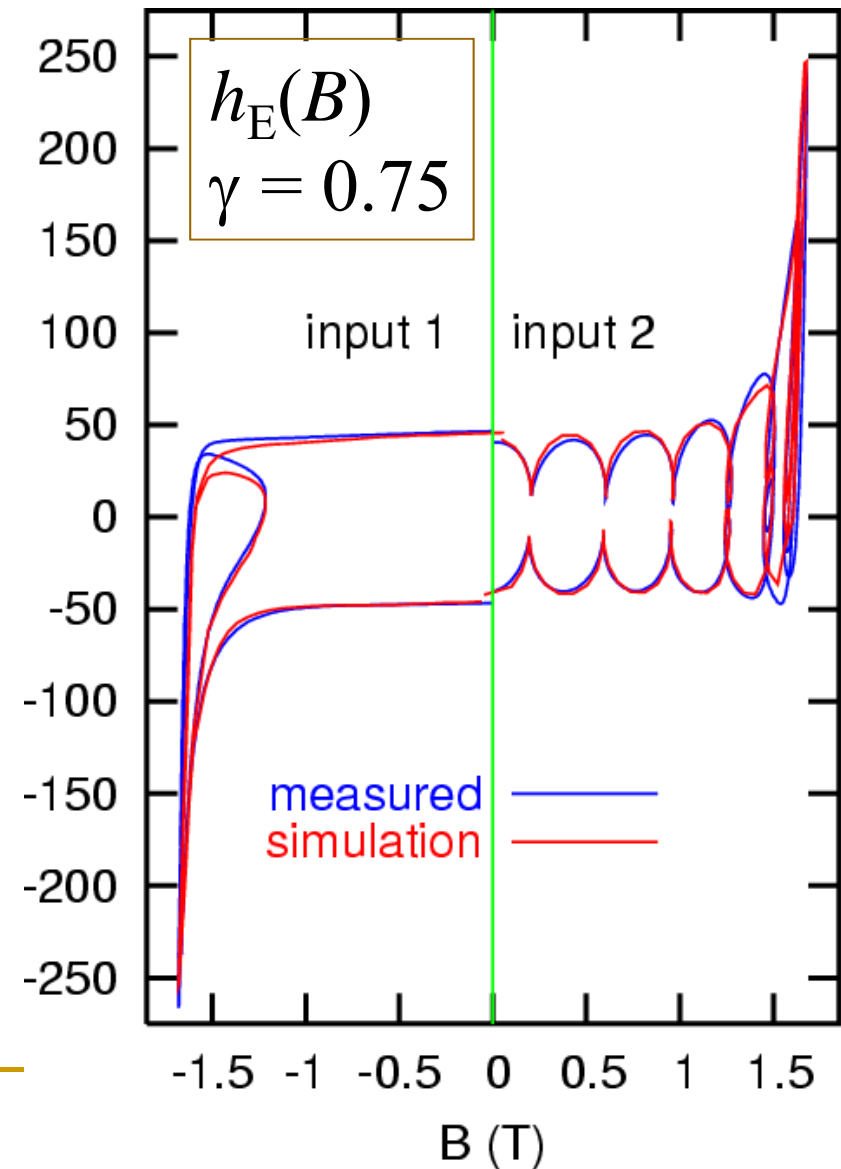
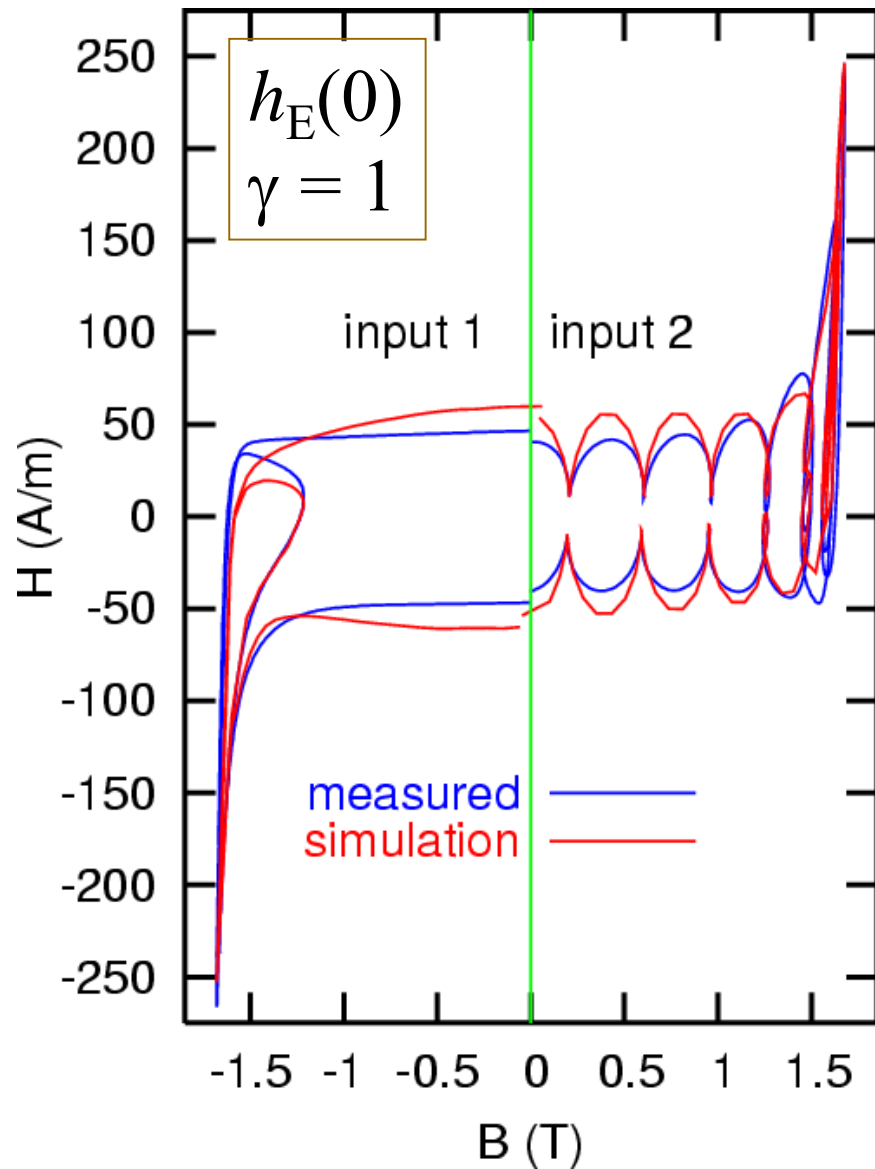
$$H_E = h_E \left(B, \frac{dB}{dt} \right) = c_A k_E(B) \frac{\sigma d^2}{12} \left(\frac{dB}{dt} \right)^\gamma$$

$$k_E(B) = \frac{192L}{\pi^3 d} \sum_{n \text{ odd}} \frac{\cosh \left\{ \frac{n\pi L}{d} \left(1 + \frac{B}{B_s} \right) \right\} \cosh \left\{ \frac{n\pi L}{d} \left(1 - \frac{B}{B_s} \right) \right\}}{n^3 \sinh \frac{2n\pi L}{d}}$$

正弦波条件下での計算結果



マイナーループを生じる波形に対する計算結果



むすび

- ◆ プレイモデルとストップモデルによる電磁鋼板のヒステリシス特性の表現
 - ⇒ 高精度で簡潔な直流スカラーモデルの構築
- ◆ 今後の課題
 - 複雑なマイナーループ
 - 交流モデル
 - ベクトルモデル